

- величину радиуса измеренной от середины 20-метровой  $R_{20}$  и 10-метровой  $R_{10}$  хорды;
- зависимость изменения в величине радиусов  $\Delta R$ ;
- места, в которых отклонение радиусов минимальное и максимальное;
- места, в которых радиусы  $R_{20}$  и  $R_{10}$  примерно равны  $R_{\text{пр}}$ ;
- зависимость расположения мест, где  $\Delta R = \min \Delta R$  и  $\Delta R = \max \Delta R$  от изменения стрел изгиба в пределах кривой.

По результатам проведения съемки всех девяти кривых были вычислены радиусы в каждой точке кривой, а также проанализированы различия между измеренными стрелами изгиба, взятыми от середины хорды длиной 20 м и хордой длиной 10 м.

Анализ радиуса кривой № 5 по сравнению с проектным в каждой точке выявляет значительные различия между  $R_{20}$  и  $R_{10}$  относительно  $R_{\text{пр}}$ . Для обоих вариантов смещение фактической кривой внутрь и наружу фиксируется в одних и тех же точках, за исключением одной точки.

Во всех кривых, кроме кривой № 3, наблюдаются изменения геометрического положения как внутрь, так и наружу. В кривых № 1, 2, 4, 5, 6 и 8 эти изменения имеют незначительные отличия, тогда как в кривых № 7 и 9 они оказались более выраженным. Кривые № 7 и 9 демонстрируют наибольшие отклонения между  $R_{20}$  и  $R_{10}$ , но при этом уровень расстройства у них минимален.

В ряде случаях рекомендуется или необходимо измерять стрелы изгиба именно от хорды длиной 10 м в точках с шагом 5 м. Исследования в данной области показали, что из девяти изученных кривых:

- в одной (кривая № 3) отклонения  $R_{20}$  и  $R_{10}$  от  $R_{\text{пр}}$  совпадают;
- в шести (кривые № 1, 2, 4, 6, 7, 8) отклонение  $R_{10}$  от  $R_{\text{пр}}$  больше, чем отклонение  $R_{20}$  от  $R_{\text{пр}}$ ;
- в двух (кривые № 5 и 9) отклонение  $R_{20}$  от  $R_{\text{пр}}$  превышает отклонение  $R_{10}$  от  $R_{\text{пр}}$ .

Наличие большого отклонения  $R_{10}$  от  $R_{\text{пр}}$  в шести из девяти кривых подчеркивает целесообразность проведения съемки кривой с шагом 5 м. Однако отсутствие нормативной базы для такого подхода не позволяет утверждать, что средний радиус, определенный на основе значений  $R_{10}$ , будет достоверным. Эти наблюдения позволяют предположить, что усредненный радиус кривой не отражает реальной ситуации, и оценка радиуса всей кривой может оказаться некорректной.

При проведении работ по выправке кривой акцент в основном делается на разности стрел изгиба, а радиус не является основным параметром, поэтому измерения от хорды длиной 10 м выполняются локально для определения положения «угла» в плане. В этом контексте измерение от 10-метровой хорды действительно оправдано, так как это позволяет более точно установить геометрическое положение рельсовой колеи. Тем не менее в некоторых случаях все же необходимо определить радиус кривой, например, для ведения документации и расчета возвышения наружного рельса.

#### Список литературы

1 СТП 09150.56.0102005. Текущее содержание железнодорожного пути. Технические требования и организация работ : утв. приказом Нач. Бел. ж. д. от 29.06.2006 № 221 Н. – Введ. 2006-07-01. – Минск : Бел. ж. д., 2006. – 290 с.

2 Романенко, В. В. Вопросы оценки состояния криволинейных участков / В. В. Романенко, А. Б. Капитонец, В. Д. Макаревич // Инновационное развитие транспортного и строительного комплексов : материалы Междунар. науч.-практ. конф., посвященному 70-летию БелИИЖГа – БелГУТа, Гомель, 16–17 нояб. 2023 г. В 2 ч. Ч. 1. – Гомель : БелГУТ, 2023. – С. 415–417.

3 Итоги работы путевого хозяйства в 2023 году и задачи на 2024 год : отчет гос. объединения «Белорусская железная дорога». – Минск : Бел. ж. д., 2024. – 16 с.

УДК 625.172

## ПРИМЕНЕНИЕ AUTODESK INVENTOR ПРИ ПРОГНОЗИРОВАНИИ ПОВЕДЕНИЯ МАТЕРИАЛОВ ПОД НАГРУЗКОЙ

*B. V. РОМАНЕНКО*

*Белорусский государственный университет транспорта, г. Гомель*

*П. А. СЕВАСТИЦКИЙ, Е. М. ВОРОБЬЕВ*

*Белорусская железная дорога, г. Кричев*

Главной задачей железнодорожного транспорта является обеспечение безопасного движения поездов как по общим, так и по специализированным путям, что во многом зависит от состояния верхнего строения пути (ВСП). Устойчивость геометрического положения рельсов во многом определяется типом и состоянием подрельсового основания, состоящего из шпал (для путей), перевод-

ных брусьев (для стрелочных переводов) и мостовых брусьев (для мостов с балластным основанием) [1]. На Белорусской железной дороге (БЖД) подрельсовое основание изготавливают из древесины или железобетона. Выбор материала обусловлен целым рядом факторов и имеет как свои преимущества, так и недостатки в процессе эксплуатации [2].

Для изготовления деревянных шпал, переводных и мостовых брусьев используются лесоматериалы в виде бревен с диаметром от 28 до 40 см и длиной не менее 5,5 м. Стандартная длина шпалы составляет 2750 мм, что позволяет из одного бревна получить две шпалы с минимальными отходами. Длина переводных брусьев варьируется от 3,0 до 5,5 м, что приводит к образованию отходов длиной до 2,5 м, которые не могут быть использованы для создания цельнобрусковых шпал.

С учетом большого количества стрелочных переводов на деревянном основании, остатки брусьев длиной менее 2,75 м составляют значительный объем. Учитывая спрос со стороны БЖД и владельцев железнодорожных путей на древесину, переработка этих остатков для создания подрельсowego основания может снизить потребность в древесине для шпал.

В настоящее время на железных дорогах используют цельнобрусковые деревянные шпалы, однако разрабатываются составные варианты, включая kleеные, для более эффективного использования остаточных брусьев, хотя это ведет к повышению их стоимости. Для снижения затрат на составные шпалы и избегания необходимости внедрения дополнительных технологий разработаны конструкции, позволяющие использовать обрезанные брусья.

Важным аспектом разработки этих шпал является 3D-моделирование, которое помогает визуализировать и оптимизировать их конструкцию до начала производства. Используя такие программы, как Autodesk Inventor, можно создать точные модели, учитывающие механические нагрузки и эксплуатационные условия, что критически важно для надежности и долговечности. Применение 3D-технологий также позволяет выявить потенциальные проблемы на ранних стадиях разработки, что способствует экономии времени и средств [3].

При проектировании и разработке новых конструкций надежность играет главную роль в обеспечении безопасного движения поездов. Анализ деформационно-напряженного состояния является важным этапом, который позволяет прогнозировать реакцию материалов и конструкций на разнообразные нагрузки. Моделирование нагрузки от поезда служит важным инструментом для оценки устойчивости конструкции под воздействием динамических факторов, таких как ускорение поезда, колебания и вибрации.

Воздействие колес подвижного состава на верхнее строение пути (ВСП) имеет сложный характер и делится на вертикальные и горизонтальные компоненты:

- вертикальное давление, приводящее к просадке пути и деформации рельсов;
- боковое давление, которое может вызывать смещение пути в сторону.

Максимальная расчетная нагрузка от колесной пары на рельсы составляет 23,5 тс, что соответствует нагрузке на одно колесо 11,75 тс. В рамках исследования напряженно-деформируемого состояния вертикальная нагрузка на рельс установлена на уровне 11750 Н (11,75 тс), в то время как боковые нагрузки принимаются в значениях 5, 10 и 15 кН.

Для анализа распределения этих нагрузок по осям используется программа Autodesk Inventor, что позволяет в соответствии с заданными параметрами вертикальной и боковой нагрузки вычислить равнодействующие. Например, при боковой силе 5000 Н получаем следующие результаты:

- для правого рельса – 12769,593 Н, в том числе по векторам:  $X$  – минус 11750,000 Н,  $Y$  – 0,000 Н,  $Z$  – минус 5000,000 Н;
- для левого рельса – 12769,593 Н, в том числе по векторам:  $X$  – минус 11750,000 Н,  $Y$  – 0,000 Н,  $Z$  – 5000,000 Н.

После создания трехмерной модели, учитывая геометрические параметры и материал с помощью встроенных функций анализа нагрузки задаются вертикальные нагрузки, имитирующие реальные условия эксплуатации. Программа осуществляет расчет распределения этих нагрузок по основным осям конструкции, выявляя участки с максимальными напряжениями (рисунок 1) и деформациями.

Метод определения напряжений по Мизесу основывается на комбинации трех главных и касательных напряжений. Суть данного принципа заключается в том, что материал начинает испытывать повреждения в тех зонах, где напряжения, рассчитанные по Мизесу, достигают предельного значения. Для древесины это предельное значение соответствует пределу прочности на растяжение.

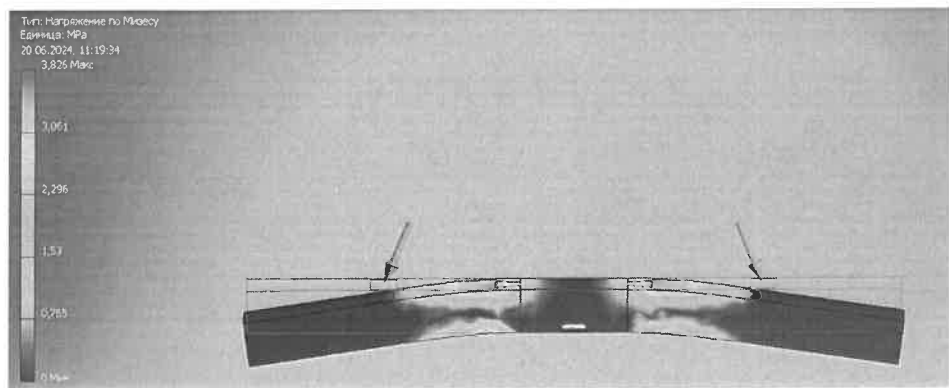


Рисунок 1 – Распределение напряжения по фон Мизесу

Проявление напряжений, величина которых остается в пределах прочности конструкции, свидетельствует об отсутствии сигналов о возможном разрушении элементов системы. В данном случае, принимая во внимание вышеизложенное, можно заключить, что в конструкции с указанными размерами элементов и физико-механическими свойствами материала напряжения остаются ниже допустимых значений, что подтверждается коэффициентом запаса прочности, равным 3,826 (при максимальном значении – 15).

Максимальные напряжения, определенные по Мизесу для шпал из остатков из размерами переводных брусьев, следующие:

- I типа с длиной шипа 100 мм – 4,8 МПа (с длиной 150 мм – 4,2 МПа, разница составляет 13 %);
- II типа с длиной шипа 150 мм – 5,4 МПа (при длине 100 мм – 3,8 МПа, разница – 30 %);
- III типа с длиной шипа 150 мм – 5,8 МПа (при длине 100 мм – 4,9 МПа, разница – 16 %).

Расчеты с использованием Autodesk Inventor подтверждают надежность конструкции составной деревянной шпалы, собранной из остатков древесины, полученных после производства переводных брусьев без изменения их поперечного сечения для всех типов, что говорит о целесообразности использования таких моделей в реальной практике.

Применение трехмерного моделирования вместе с экспериментальными данными в будущем позволит разработать методики для оценки состояния деревянных шпал и рекомендации по их применению в условиях эксплуатации.

#### Список литературы

- 1 СТП БЧ 56.388-2022. Положение о системе ведения путевого хозяйства : утв. приказом зам. Нач. Бел. ж. д. от 14.05.2022 № 370 НЗ. – Введ. 2022-06-22. – Минск : Бел. ж. д., 2022. – 35 с.
- 2 Невзорова, А. Б. О целесообразности и перспективах применения деревянных шпал в криволинейных участках пути / А. Б. Невзорова, В. В. Романенко // Труды БГТУ. Сер. 1. Лесное хоз-во, природопользование и перераб. возобновляемых ресурсов. – 2021. – № 2 (246). – С. 242–249.
- 3 Невзорова, А. Б. Имитационное моделирование несущей способности составной деревянной шпалы с учетом поездной нагрузки / А. Б. Невзорова, В. В. Романенко // Вестник Гомельского государственного технического университета им. П. О. Сухого. – 2024. – № 1 (96). – С. 72–81.

УДК 625.142.21

## РАЗРАБОТКА ПУТЕВЫХ ПРОКЛАДОК ДЛЯ ВЫПРАВКИ ЖЕЛЕЗНОДОРОЖНОГО ПУТИ

*К. С. ХОМИЧ*

*Белорусская железная дорога, г. Минск*

*С. С. КОЖЕДУБ, В. И. ИНЮТИН*

*Белорусский государственный университет транспорта, г. Гомель*

Для выправки пути в местах пучения и в зоне рельсовых стыков используются путевые прокладки толщиной от 1 до 10 мм. Для изготовления этих прокладок рекомендуется использовать композиционный материал на основе отходов хлопчатобумажных тканей (ОХБТ). Исследование влияния содержания в связующем поливинилбутираля (ПВБ) ( $X_1$ , С<sub>1</sub>, мас.ч.), магнийцинкового ок-